

تعیین ماهیت و تحولات مذاب والد سنگ‌های آتشفشانی گستره نقشه زمین‌شناسی سرچاه (خراسان جنوبی) بر مبنای داده‌های ایزوتوبی

اسماعیل الله پور^(۱)، منصور وثوقی عابدینی^(۲) و سید محمد پورمعافی^(۳)

۱. استادیار گروه زمین‌شناسی، دانشکده علوم پایه، دانشگاه پیام نور
۲. دانشیار گروه زمین‌شناسی، دانشکده علوم زمین، دانشگاه شهید بهشتی، تهران

تاریخ دریافت: ۹۳/۷/۲۲

تاریخ پذیرش: ۹۴/۷/۷

چکیده

در گستره نقشه زمین‌شناسی ۱/۱۰۰۰۰ سرچاه در استان خراسان جنوبی و واقع بین $30^{\circ}59'$ تا $30^{\circ}60'$ طول شرقی و $33^{\circ}33'$ تا $30^{\circ}33'$ عرض شمالی طیف گستردگی از سنگ‌های آتشفشانی با تنوع ترکیبی بازیک تا اسیدی رخنمون داردند که ماهیت و تحولات مذاب سازنده آن‌ها به کمک مطالعات و اندازه‌گیری‌های ایزوتوبی مورد مطالعه قرار گرفته است.

بر این اساس سنگ‌های آذرین خروجی منطقه منشأ گرفته از گوشته متأثر از فروزانش ورقه لیتوسفری و یا متاسوماتیزه شده توسط مواد پوسته‌ای می‌باشند و باقیستی در مورد شکل‌گیری سنگ‌های داسیتی- ریولیتی نقش پارامترهایی چون آلایش پوسته‌ای را نیز بر جسته دید. سنگ‌های ریولیتی در حد قابل توجهی از مواد پوسته‌ای تأثیر پذیرفته و با دارا بودن $^{143}\text{Nd}/^{144}\text{Nd}$ بالاتر و $^{87}\text{Sr}/^{86}\text{Sr}$ پایین تر به گونه‌ای شاخص متمایز شوند.

واژه‌های کلیدی: ایزوتوبی، بازی، خراسان جنوبی، ریولیتی، سرچاه، لوت، آتشفشاوی.

تفريق که تشكيل و تکامل ماگماها را كنترل می‌نمایند، باقی می‌مانند. بنابراین طی ذوب بخشی، ماگما ویژگی ایزوتوبی ناحیه منشأ را حفظ کرده و این ویژگی طی فرایندهای تبلور بخشی بعدی همچنان ثابت می‌ماند. لازم به ذکر است که این موضوع مشروط به دو نکته زیر است:
۱. ماگماهای نشأت گرفته از ناحیه منشأ با بخش‌هایی از ماگماهای دیگر با ویژگی‌های ژئوشیمیایی و ایزوتوبی متفاوت مخلوط نشده باشند.

مقدمه

مطالعه نسبت‌های ایزوتوبی در ماگماتیسم از آن جهت حائز اهمیت است که این نسبت‌ها قادرند ویژگی‌های ناحیه منشأ ماگما را مشخص کنند. زیرا به دلیل کوچک بودن تفاوت جرم بین هر جفت ایزوتوب رادیوزنیک، جفت‌های ایزوتوبی نمی‌توانند بهوسیله فرایندهایی که با تکامل بلور - مذاب کنترل می‌شوند، تفرقی یابند و پیوسته در واقعی

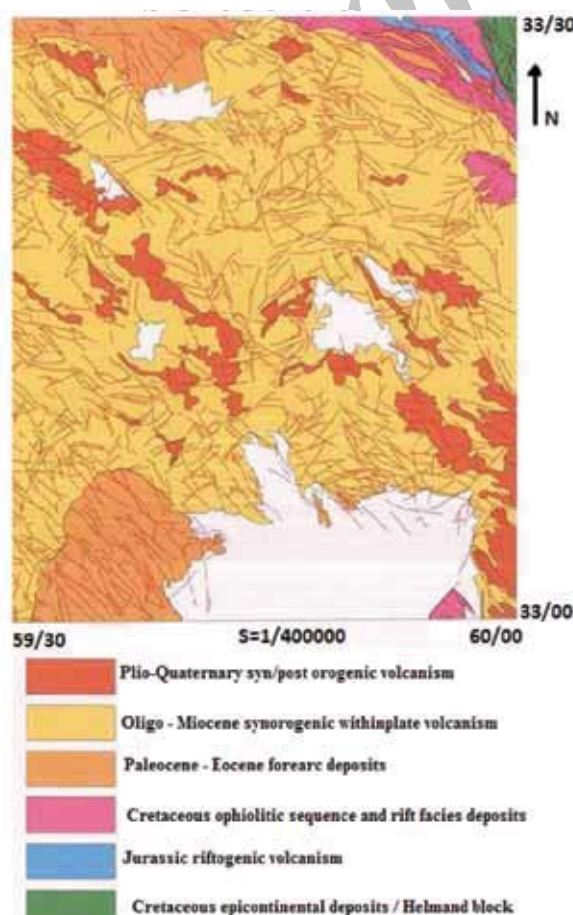
* نویسنده مرتبط: Elahpour@pnu.ac.ir

زمین‌شناسی منطقه

منطقه مورد مطالعه بین $59^{\circ}30'$ تا 60° طول شرقی و $33^{\circ}0'$ تا $33^{\circ}30'$ عرض شمالی و در بخش واسط بین پهنه جوش خورده سیستان در شرق و پهنه لوت در غرب واقع شده است. زمین‌شناسی منطقه را می‌توان بازتاب تاریخ تکتونیکی شرق ایران دانست چنانکه بیش از دو سوم سطح منطقه زیرپوشش سنگ‌های آتش‌فشانی ترشییری تا پلیوکواتربر پهنه لوت است و حضور نوار کمپلکس افیولیتی در شمال خاوری و بخش فیلیشی در جنوب و شمال باختی منطقه را می‌توان نتیجه رژیم تکتونیکی حاکم دانست. در بخش اعظم منطقه سنگ‌های آذرین خروجی حدوداً سطح تا اسیدی قدیمی‌تر (عمدتاً پالئوزن) تشکیل دهنده بستر منطقه است و رخنمون‌های سنگ‌های آذرین خروجی بازیک (جوان‌تر) با روندی تابع روند کلی ساختاری حاکم بر منطقه (شمال غرب - جنوب شرق) در زمینه یادشده پراکندگی یافته‌اند (شکل ۱).

۲. مگماهای اولیه متأثر از سنگ‌های مسیر صعود و یا سنگ‌های پوسته قاره‌ای آلایش نیافته باشند (Rollinson, 1997; Wilson, 1989)

بر این اساس بررسی علائم شیمیابی و ایزوتوپی سنگ‌های هر منطقه، محقق را قادر به شناسایی ترکیب گوشه و همین طور فرایندهایی چون اختلاط، آلایش و هضم می‌نماید. برای مثال همه بازالت‌های قاره‌ای و بیشتر بازالت‌های جزایر اقیانوسی از عناصر کمیاب غنی‌شدگی نشان می‌دهند. این غنی‌شدگی از عناصر ناسازگار اغلب متأثر از نفوذ‌های متاسوماتیک و یا تأثیرپذیری از مذاب‌های سیلیکاته - کربناته بوده و یا با پذیرش اجزاء غنی‌شده مثل پوسته و یا لیتوسفر بهوسیله استنسوfer و احجام گوشه‌ای فقیر شده توضیح داده می‌شود. از جمله کاربردهای مطالعات ایزوتوپی تشخیص این‌گونه غنی‌شدگی‌هاست.

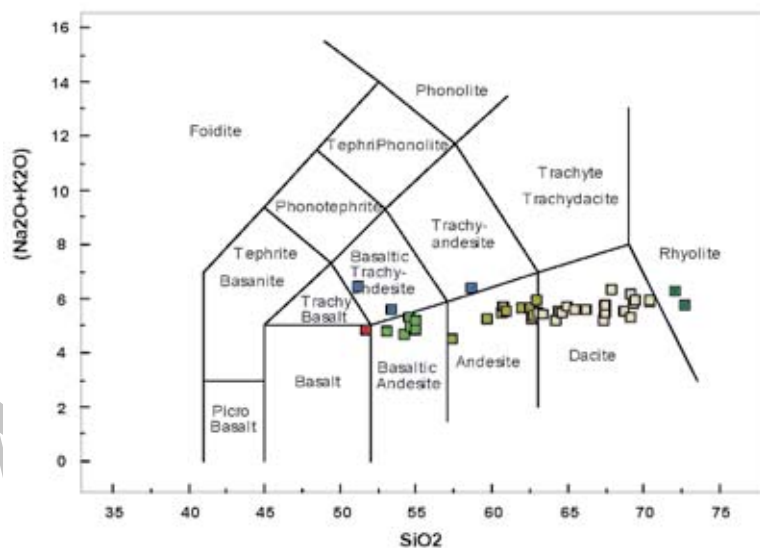


شکل ۱. شمای کلی از زمین‌شناسی چهارگوش سر چاه (اله پور، ۱۳۹۰)

سنگ‌شناسی

ریزیلور تا شیشه‌ای پراکنده‌اند. فنوکریست‌های سنگ‌های آندزیتی را به ترتیب فراوانی ارتوپیروکسن (انستاتیت)، کلینوپیروکسن (اوژیت)، پلازیوکلاز (آندزین)، هورنبلن و اکسیدهای آهن و تیتان تشکیل می‌دهند. بر این اساس غالب سنگ‌های آندزیتی مورد بررسی پیروکسن آندزیت اند. فراوان‌ترین فنوکریست‌ها در سنگ‌های داسیتی دارای بافت پرفیریک با مزوستاز میکرولیتی - شیشه‌ای عبارتند از هورنبلن، بیوتیت و پلازیوکلاز که با بلورهایی از جنس کوارتز، آپاتیت و اکسیدهای آهن و تیتان همراهی می‌شوند. بافت سنگ‌های لوکوکرات ریولیتی، پرفیریک با مزوستاز بارز شیشه‌ای است و فراوان‌ترین فنوکریست‌ها در این سنگ‌ها مشتمل بر بیوتیت، پلازیوکلاز، فلدسپات پتاسیم و کوارتز است که با بلورهای کوچک ایلمنیت و آپاتیت درون شیشه‌ی سیلیسی قرارگرفته‌اند.

بر اساس نمودار مجموع اکسیدهای پتاسیم و سدیم نسبت به سیلیس (شکل ۲) سنگ‌های آتشفشاری مورد بررسی را می‌توان به دو مجموعه بازی شامل بازالت، آندزیت بازالتی و تراکی آندزیت بازالتی و مجموعه حدواسط تا اسیدی شامل آندزیت، تراکی آندزیت، داسیت و ریولیت رده‌بندی کرد. بازالت‌ها و آندزیت‌های بازالتی به طور عام تیره‌رنگ و دارای بافت پرفیریک با مزوستاز میکرولیتی تا شیشه‌ای - میکرولیتی هستند. محتوی فنوکریست در این سنگ‌ها اندک و مشتمل بر الیوین، کلینوپیروکسن (دیوپسید)، اوژیت دیوپسیدی و اوژیت) و پلازیوکلاز با ترکیب متوسط لابرادوریت و اکسیدهای آهن و تیتان است. بافت غالب در سنگ‌های مجموعه دوم (آندزیت‌ها، داسیت‌ها و ریولیت‌ها) که مشتمل بر طیف گسترده‌ای از سنگ‌های مزوکرات تا لوکوکرات‌ند، پرفیریک است و فنوکریست‌ها در مزوستاز



شکل ۲. طبقه‌بندی سنگ‌های آتشفشاری موردنظر بر اساس نمودار مجموع آلکالن در مقابل سیلیس (Le Maitre et al., 1989)

انتخاب نمونه‌های با حداقل دگرسانی و حداقل پارامترهای کیفی سنگ‌شناسی و نیز محدودیت‌های سخت‌افزاری نسبت‌های ایزوتوپی Sr و Nd پانزده نمونه از سنگ‌های آتشفشاری گستره نقشه زمین‌شناسی سرچاه (شش نمونه از بازالت‌ها، موژه آریاها و آندزیت‌های بازالتی، شش نمونه از بنموریت‌ها و آندزیت‌ها، دو نمونه از داسیت‌ها و یک نمونه

روش‌شناسی

مطالعات ایزوتوپی Nd - Sr اهمیت ویژه‌ای در ردیابی پدیده آلایش مagmaها به‌وسیله سنگ‌های پوسته قاره‌ای دارد (Wilson, 1989). در این پژوهش نظر به عواملی مانند جایگاه ترکیبات سنگی مختلف در بازسازی تاریخچه فرایندهای آتشفشاری منطقه، اعمال ضرب فراوانی و بحث

است که در انتخاب نمونه سعی شده است با توجه به نقش سنگ‌های مختلف در بازسازی تحولات ماقمایی منطقه، نسبت‌های ایزوتوبی از ترکیبات مختلف تهیه شود. ریولیتی)، موردانداره‌گیری قرار گرفته و نتایج در جداول ۱ و ۲ رایه شده است (شش نمونه اول در دانشگاه مونیخ آلمان و نه نمونه دوم در پژوهشگاه وزوویان شهر ناپل ایتالیا). بدیهی

جدول ۱. ترکیب شیمیایی و موقعیت جغرافیایی برداشت نمونه‌های مورد آزمایش قرار گرفته

ردیف	کدنمone	ترکیب شیمیایی	موقعیت جغرافیایی نمونه برداری
۱	۰۱۲۶۴	بازالت	N33°/13'-E59°/55' ترانشه جاده سراب
۲	۰۱۲۳۴	موژه آریت	بعداز دوراهی کبودان به سمت افین N33°/29'-E59°/46'
۳	۱۴۶۱۱	موژه آریت	N33°/26'-E59°/48' جنوب شرق پایهان
۴	۰۱۲۶۸	آندرزیت بازالتی	N33°/10'-E59°/55' شمال شرق خلف
۵	۰۰۶۷۲	آندرزیت بازالتی	N33°/12'-E59°/29' جنوب آسو
۶	۳۰۵۱۳	آندرزیت بازالتی	N33°/23'-E59°/32' خروجی شاخن به سمت مبارک آباد
۷	۳۰۵۱۰	بنموریت	N33°/19'.25 E59°/34'.038 مسیر ارتباطی واشان به شاخن
۸	۰۳۰۵۹	آندرزیت	N33°/19'.2 - E59°/34'.05 حاشیه شرقی جاده واشان
۹	۲۷۵۶۲	آندرزیت	N33°/11'.5 - E59°/42'.4 بلندی تخت ملک، سرخنگ
۱۰	۱۴۶۱۰	آندرزیت	N33°/26 E59°/49' جنوب شرق پایهان، حاشیه شرقی جاده
۱۱	۳۰۵۱۲	آندرزیت	N33°/21'.7 - E59°/33'.188 جنوب شاخن
۱۲	۰۱۴۶۳	آندرزیت	N33°/17' - E59°/47'.28 جنوب شیرگ
۱۳	۰۱۴۶۷	داسیت	N33°/24'.8 - E59°/47'.6 رودخانه زهان
۱۴	۰۱۳۶۷	داسیت	N33°/19' - E59°/42'.05 جنوب شرق نوغاب
۱۵	۰۱۳۶۵	ریولیت	N33°/16' - E59°/43'. خوان شمال شرق خوان

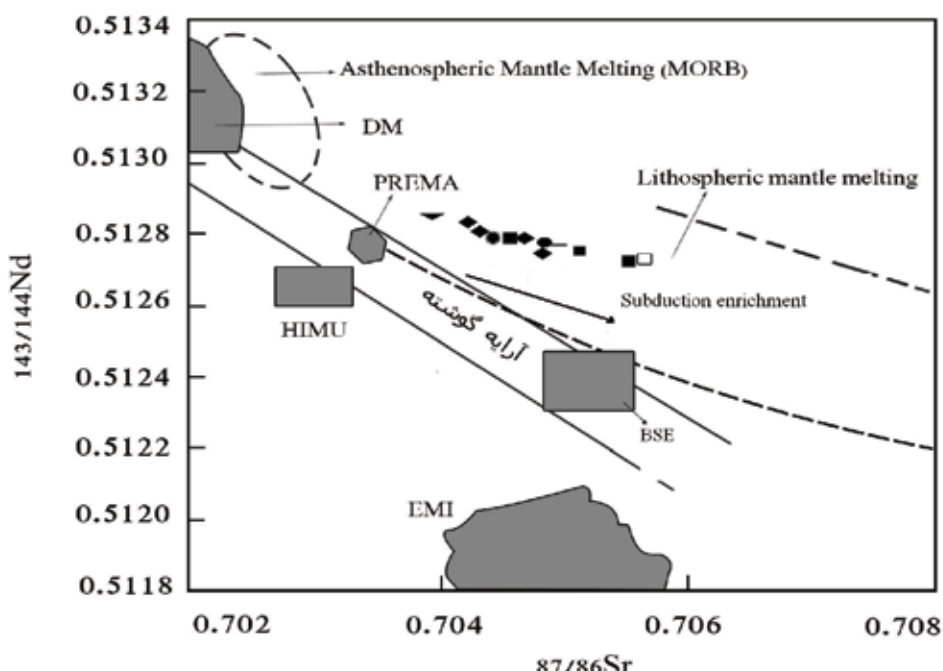
جدول ۲. نتایج محاسبه نسبت‌های ایزوتوبی سنگ‌های آتشفسانی گستره سر چاه

شماره نمونه	ترکیب شیمیایی	87Sr/86Sr	143Nd/144Nd
۱۴۶۳	آندرزیت	0.704684	0.512851
۱۲۳۴	موژه آریت	0.703924	0.512852
۳۰۵۱۳	آندرزیت بازالتی	0.704299	0.512792
۱۲۶۴	بازالت ساب آکالان	0.704443	0.512791
۱۳۶۷	داسیت	0.705538	0.512725
۱۴۶۰	آندرزیت	0.704828	0.512790
۱۲۶۸	آندرزیت بازالتی	0.704207	0.512838
۱۳۶۵	ریولیت	0.705639	0.512731
۱۴۶۱	موژه آریت	0.704320	0.512792
۳۰۵۱۰	بنموریت	0.704559	0.512794
۱۴۶۷	داسیت	0.705127	0.512756
۳۰۵۹	آندرزیت	0.704824	0.512746
۲۷۵۶۲	آندرزیت	0.705078	0.512792
۶۷۲	آندرزیت بازالتی	0.704828	0.512807
۳۰۵۱۲	آندرزیت	0.704793	0.512782

بحث

(شکل ۳) منابع اصلی گوشتۀ اقیانوسی را نشان داده‌اند. در این نمودار که مقدار $^{87}\text{Sr}/^{86}\text{Sr}$ کل زمین را نیز می‌توان از آن نتیجه گرفت، منابع مختلف مagmaی بر اساس مقدار نسبت‌های ایزوتوبی رادیوزنیک شناسایی و معرفی شده‌اند. DM نشانگر گوشتۀ تهی شده است که به‌وسیله نسبت بالای $^{143}\text{Nd}/^{144}\text{Nd}$ و نسبت پایین $^{87}\text{Sr}/^{86}\text{Sr}$ مشخص می‌شود. گوشتۀ تهی شده محیط مهمی برای نشأت گرفتن بسیاری از MORBs است.

از آنجاکه در این نوشتار در نظر است به صورت خاص به کمک داده‌های ایزوتوبی ماهیت و تحولات مذاب والد مجموعه‌ای از سنگ‌های آتشفسانی مورد بررسی قرار گیرد لازم است در ابتدا با ذکر مواردی از مطالعات معطوف به نسبت‌های ایزوتوبی، نتایج ممکن‌الوصول از این گونه بررسی‌ها مشخص شود. Zindler و Hart (1986) با استفاده از همبستگی ایزوتوبی $^{143}\text{Nd}/^{144}\text{Nd}$ در مقابل $^{87}\text{Sr}/^{86}\text{Sr}$



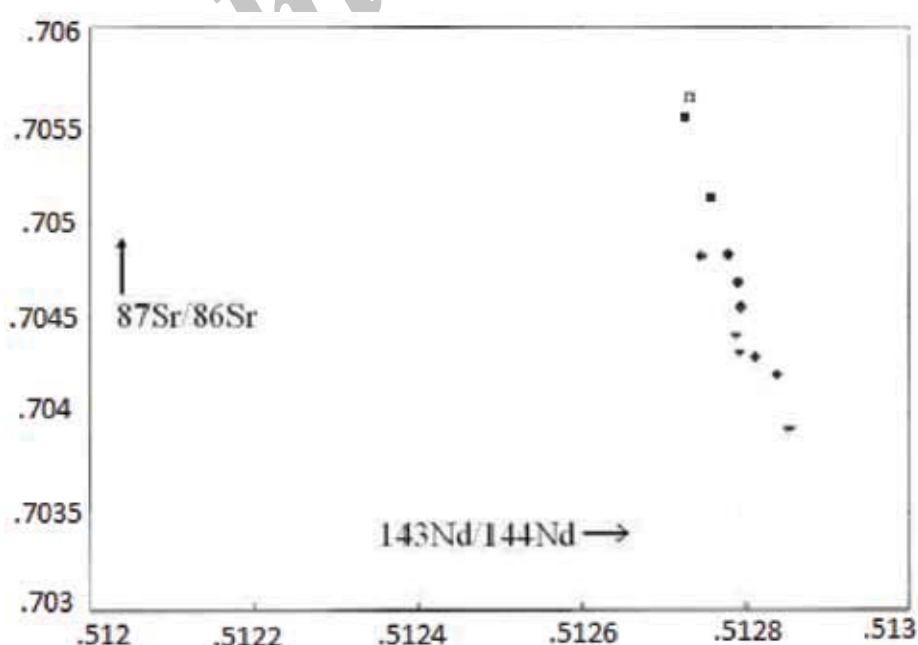
شکل ۳. نمودار همبستگی ایزوتوبی $^{143}\text{Nd}/^{144}\text{Nd}$ در مقابل $^{87}\text{Sr}/^{86}\text{Sr}$ (Zindler and Hart, 1986)، ▲: مواد آریت و بازالت، ◆: آندزیت بازالتی، ●: آندزیت، ■: داسیت، □: ریولیت

عبارتند از: اختلاط گوشتۀ با پوستۀ اقیانوسی دگرسان شده (که ممکن است با آب دریا آایش یافته باشد)، فرار سرب از بخشی از گوشتۀ به داخل هستۀ زمین و کاهش سرب (و روبيديوم) به‌وسیله سیالات متاسوماتیک در گوشتۀ. برای نشان دادن منبع یکنواخت اولیه (کل زمین) به کاررفته است. این تشکیل‌دهنده گوشتۀ‌ای، دارای زمین‌شیمی سیلیکاته کلی (بدون هسته) است. بعضی از بازالت‌های اقیانوسی دارای نوعی ترکیب ایزوتوبی هستند که خیلی نزدیک به کل زمین است. EMI گوشتۀ غنی شده با نسبت متوسط $^{87}\text{Sr}/^{86}\text{Sr}$ و نسبت پایین $^{143}\text{Nd}/^{144}\text{Nd}$ است.

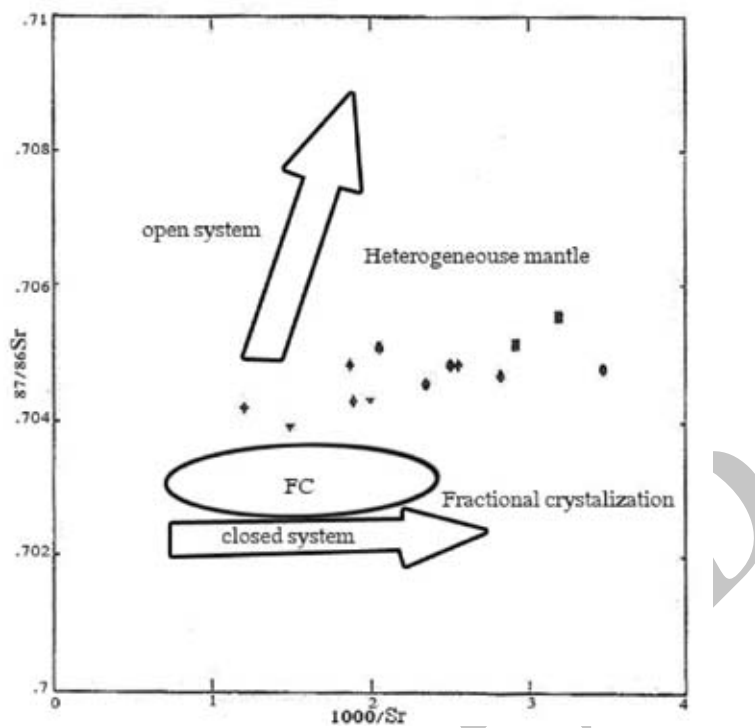
PREMA ترکیبی از گوشتۀ است که اغلب مشاهده می‌شود. فراوانی خیلی زیاد بازالت‌های جزایر اقیانوسی، جزایر قوسی بین اقیانوسی و مجموعه‌های بازالتی قاره‌ای با نسبت $^{143}\text{Nd}/^{144}\text{Nd} = 0.5130/0$ و $^{87}\text{Sr}/^{86}\text{Sr} = 0.7033/0$ نشان می‌دهد که با این ویژگی ایزوتوبی یک تشکیل‌دهنده گوشتۀ‌ای قابل شناسایی است. HIMU نشانگر گوشتۀ دارای نسبت بالای U/Pb است. این نماد نوعی از منشأ گوشتۀ‌ای را نشان می‌دهد که مقدار U و Th آن نسبت به Pb افزایش یافته بدون آنکه افزایشی در Rb/Sr دیده شود. مدل‌هایی برای توضیح منشأ این منبع گوشتۀ‌ای پیشنهاد شده‌اند که

ماگمای اولیه آن‌ها را مذاب گوشه‌ای متأثر از فرورانش و یا متاسوماتیزه شده توسط مواد پوسته‌ای در نظر گرفت. در شکل ۴ نمودار تغییرات $^{87}\text{Sr}/^{86}\text{Sr}$ در مقابل نوسانات $^{143}\text{Nd}/^{144}\text{Nd}$ ارائه شده است. منحنی تغییرات منفی و دارای شیب زیاد است و بیانگر آن است که سنگ‌های بازیک ماهیت گوشه‌ای دارند و از سوی دیگر سنگ‌های ریولیتی در حد قابل توجهی از مواد پوسته‌ای تأثیر پذیرفته‌اند. نمودار $^{87}\text{Sr}/^{86}\text{Sr}$ در برابر $\text{Sr}/0001$ (شکل ۵) نمایانگر یک تکامل پتروژنتیک کمپلکس برای سنگ‌های مورد بررسی است. بر اساس این نمودار که توسط Benito و همکاران (۱۹۹۹) معرفی شده و Altunkaynak و Genc (۲۰۰۸) از آن برای بررسی ولکانیسم قاره‌ای سنجوزئیک شمال غرب آناتولی استفاده کرده‌اند، سیستم پتروژنتیک ولکانیسم گستره سر چاه را نمی‌توان به صورت مطلق از نوع باز یا بسته دانست بلکه فرایندی کمپلکس مشتمل بر تبلور تفریقی و آلودگی پوسته‌ای مسئول شکل‌گیری این مجموعه سنگ‌شناسی بوده است. گرچه لازم بهذکر است که نقش آلایش پوسته‌ای مورد اشاره در زئز سنگ‌های ریولیتی و متمایل به اسیدی چشمگیر بوده است.

Zindler و Hart (1986) منشأ احتمالی این غنی‌شدگی را پدیده فرورانش می‌دانند که از طریق آن مواد پوسته‌ای به داخل گوشه‌های تزریق می‌شوند. EMI با پوسته تحتانی دارای قربت (از نظر ترکیب) است و ممکن است مواد بازیافت شده پوسته تحتانی را نشان دهد. فرضیه دیگری نیز وجود دارد که این غنی‌شدگی را متأثر از متاسوماتیسم گوشه‌ای می‌داند. Altunkaynak و Genc (2008) از این الگو برای مطالعه ولکانیسم قاره‌ای سنجوزئیک بیگا پنینسولا (شمال غرب آناتولی - ترکیه) استفاده کرده و سنگ‌های با نسبت La/Yb بیشتر از ۹ و نسبت‌های ایزوتوپی مشابه سنگ‌های آذرین خروجی گستره ۱/۱۰۰۰۰۰ سرچاه را منشأ گرفته از گوشه‌ای متأثر از فرورانش ورقه لیتوسفری دانسته‌اند. Bianchini و همکاران (۲۰۰۸) مقادیر نسبت‌های $^{87}\text{Sr}/^{86}\text{Sr}$ بیشتر از ۷۰۸ و $^{143}\text{Nd}/^{144}\text{Nd}$ کمتر از ۵۱۲۶٪ را نشانگر منبع پوسته قاره‌ای دانسته‌اند. نظر به این که مقادیر نسبت‌های ایزوتوپی سنگ‌های منطقه مورد مطالعه در محدوده ذوب گوشه‌ای لیتوسفری (شکل ۳) قرار داشته و تقریباً از روند نشان‌گر غنی‌شدگی از فرایند فرورانش تعییت نموده و از طرف دیگر نسبت La/Yb آن‌ها بیش از ۹/۱۳ (در مقایسه با ولکانیک‌های شمال غرب آناتولی) می‌باشد، می‌توان



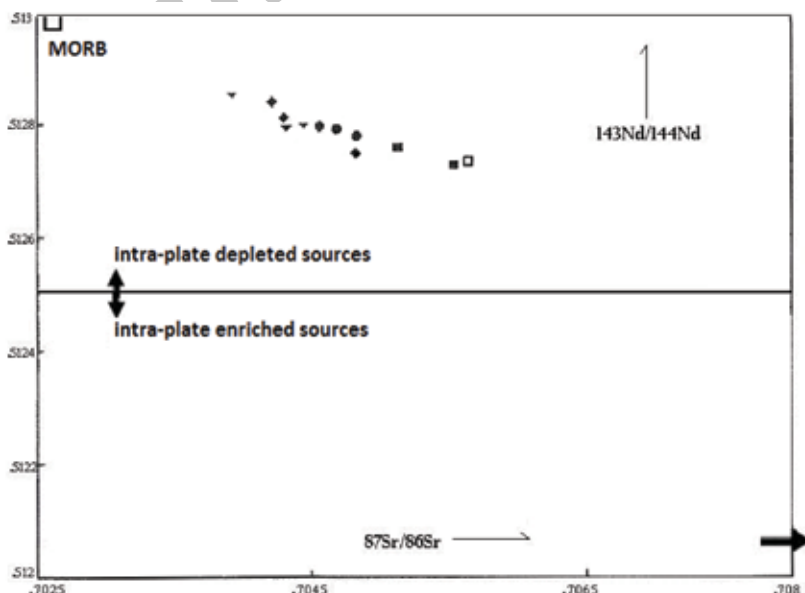
شکل ۴. نمودار تغییرات $^{87}\text{Sr}/^{86}\text{Sr}$ در مقابل نوسانات $^{143}\text{Nd}/^{144}\text{Nd}$



شکل ۵. نمودار $^{87}\text{Sr}/^{86}\text{Sr}$ در برابر $1000/\text{Sr}$ (Benito et al., 1999)

از مفهوم گوشته ناهمگن برای Benito et al., (1999) عرض جنوی استفاده کرده و منبع مولد ولکانیسم در این توصیف ماهیت منشأ در چنین وضعیتی استفاده کرده‌اند. حاشیه فعال قاره‌ای را یک گوشته تهی شده دانسته‌اند. شکل ۶ نشان می‌دهد که سنگ‌های آذرین خروجی منطقه Lucassen et al. (2007) از نمودار $^{143}\text{Nd}/^{144}\text{Nd}$ در برابر $^{87}\text{Sr}/^{86}\text{Sr}$ برای بررسی وضعیت منبع مagma تیسیم درون نیز وجد یک منبع گوشته‌ای تهی شده می‌باشد.

صفحه‌ای قبل از سنوزوئیک آند مرکزی (بین ۱۷ تا ۳۴ درجه



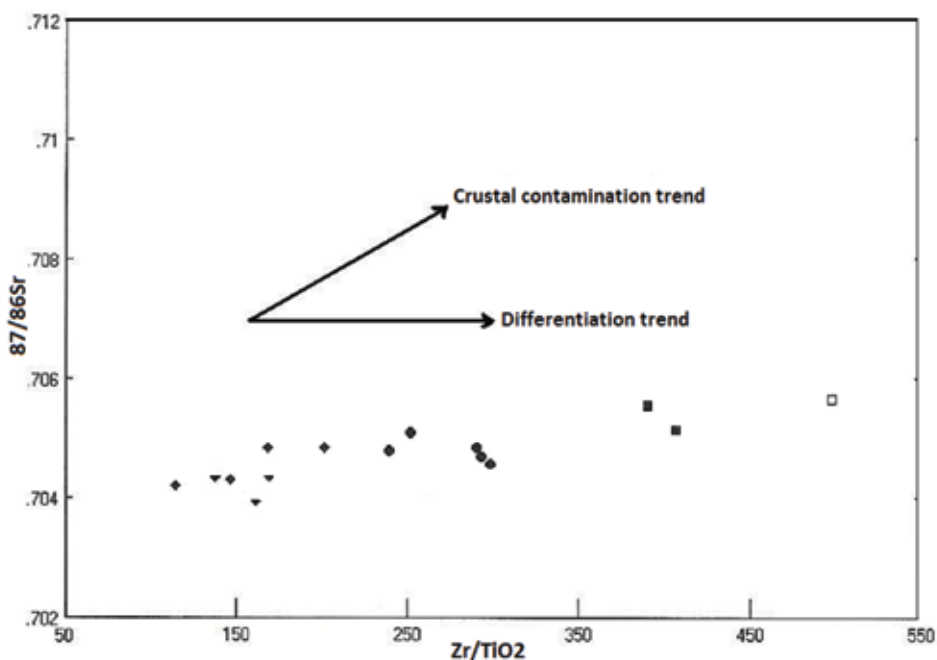
شکل ۶. نمودار $^{143}\text{Nd}/^{144}\text{Nd}$ در برابر $^{87}\text{Sr}/^{86}\text{Sr}$ (Lucassen et al., 2007)

- مطالعه می‌باشد.
- ب) بین سه طیف سنگ‌های بازالتی، آندزیتی و انواع داسیتی- ریولیتی ناپیوستگی و افقطاع مشاهده می‌شود.
- ج) از سمت سنگ‌های ریولیتی به‌طرف ترکیبات بازالتی با کاهش درجه ذوب بخشی همراه می‌باشد. این موضوع بروز شاخصه آلکالن در سنگ‌های بازیک منطقه را توجیه کند.
- د) سنگ‌های داسیتی و ریولیتی از سایر سنگ‌ها به‌دلیل دارا بودن $^{87}\text{Sr}/^{86}\text{Sr}$ بالاتر و $^{143}\text{Nd}/^{144}\text{Nd}$ پایین‌تر به‌گونه‌ای شاخص متمایز شوند (نمونه ریولیتی به‌دلیل دارا بودن سیلیس بیش از ۷۰٪ نشان داده نشده است). این موضوع نشانه تأثیر پذیرفتگی بیشتر این سنگ‌ها از پدیده آلایش پوسته‌ای است.
- ه) سنگ‌های گسترده‌ی سرچاه نسبت به انواع مورد بررسی از غرب آناتولی، از غنی‌شدنی متاثر از فرورانش بیشتر تأثیر پذیرفتگی‌اند. این موضوع را ممکن است بتوان این‌گونه تفسیر کرد که منبع گوشته‌ای مولد سنگ‌های خروجی منطقه مورد مطالعه غنی‌شدنی متاثر از یک فرایند فرورانش قدیمی را تجربه کرده است.

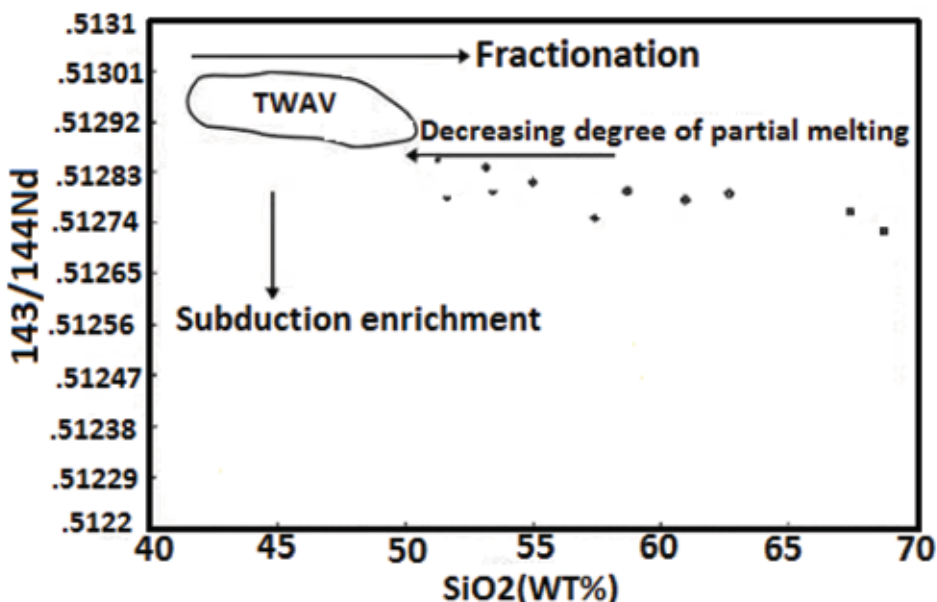
ایران‌نژادی (۱۳۸۷) نمودار $^{87}\text{Sr}/^{86}\text{Sr}$ در برابر نسبت Zr/TiO₂ را برای ردیابی فرایندهای مؤثر بر ماقمای مولد سنگ‌های آذرین ترشیری دامنه‌های جنوبی البرز مرکزی (شمال تهران) بکار برد. استفاده از این الگو شکل ۷ نشان می‌دهد که تفرقی بلوری فرایند اصلی در تکوین سنگ‌های آتشفشنی مورد تحقیق است و نقش آلدگی پوسته‌ای را نیز در این رابطه نباید از نظر دور داشت.

Aldanmaz et al. (2000) از نمودارهای $^{143}\text{Nd}/^{144}\text{Nd}$ در برابر درصد وزنی سیلیس و $^{87}\text{Sr}/^{86}\text{Sr}$ در برابر سیلیس (به عنوان اندیس تفرقی) برای تعیین پارامترهای مؤثر بر ماقمای مولد ولکانیسم پس از برخورد ترشیر پایانی و کواترنری منطقه غرب فلات آناتولی سود جسته‌اند. از این نمودارها برای بررسی پتروژنز سنگ‌های آتشفشنی گستره سرچاه نیز استفاده کرده و در مطالعه حاضر این سنگ‌ها با گدازه‌های آلکالن میوسن پایانی و سنگ‌های آذرین خروجی کواترنری (آلکالن، آتشفشن کولا (نشان داده شده با نماد TWAV مقایسه شده است (شکل‌های ۸ و ۹). از مقایسه هردوی این نمودارها مشخص شود که:

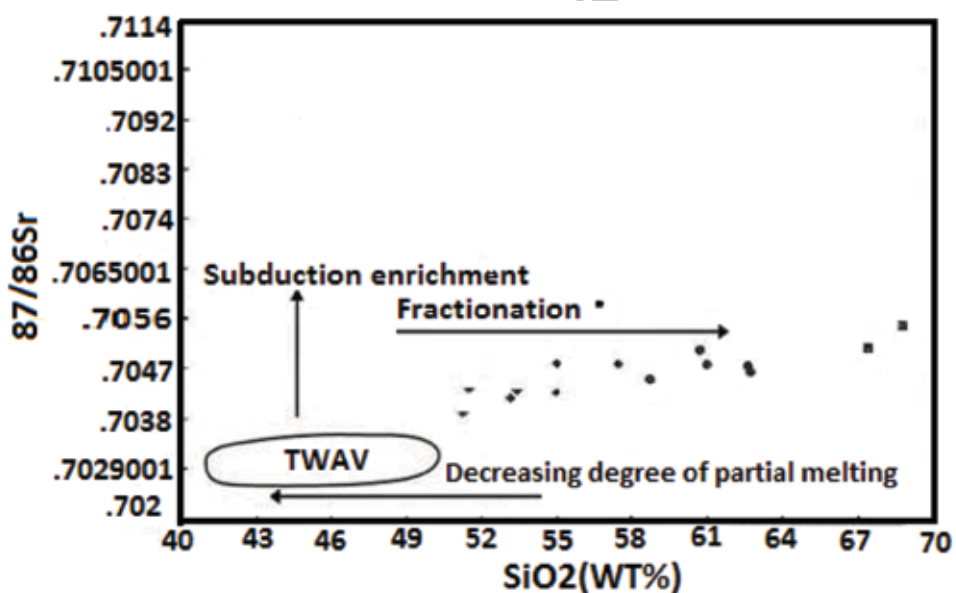
(الف) تفرقی فرایند اساسی در ژئو سنگ‌های آتشفشنی مورد



شکل ۷. نمودار $^{87}\text{Sr}/^{86}\text{Sr}$ در برابر نسبت Zr/TiO₂ (Irannezhadi, 2008)



شکل ۸. نمودار $^{143}\text{Nd}/^{144}\text{Nd}$ در برابر درصد وزنی سیلیس (Aldanmaz et al., 2000)



شکل ۹. نمودار $^{87}\text{Sr}/^{86}\text{Sr}$ در برابر سیلیس (Aldanmaz et al., 2000)

نمودار تغییرات $^{87}\text{Sr}/^{86}\text{Sr}$ در مقابل نوسانات $^{143}\text{Nd}/^{144}\text{Nd}$

نتیجه‌گیری

از قیاس با نمودار همبستگی ایزوتوبی $^{143}\text{Nd}/^{144}\text{Nd}$ در مقابله با نمودار همبستگی ایزوتوبی $^{87}\text{Sr}/^{86}\text{Sr}$ ارائه شده توسط Hart و Zindler (1986) نتیجه شود که سنگ‌های آذرین خروجی مورد مطالعه منشأ گرفته از گوشه‌های فروزانش ورقه لیتوسفری و یا متاسوماتیزه شده توسط مواد پوسته‌ای می‌باشند.علاوه بر تبلور

ژئوشیمی دانشگاه مونیخ آلمان و دکتر ایلینیا آرینزو متصدی آزمایشگاه وزوویان شهر ناپل ایتالیا برای مساعدت در انجام آنالیزها تشکر شود.

منابع

- ایران نژادی، م. ر.، ۱۳۸۷، پترولوزی و ژئوشیمی سنگ‌های آتشفسانی ترشیری دامنه‌های جنوبی البرز مرکزی (شمال تهران)، رساله دکتری پترولوزی، دانشکده علوم زمین، دانشگاه شهید بهشتی.
 - اله پور، ا. ر.، ۱۳۹۰، پتروژنز و ارزیابی رابطه ژنتیک ولکانیک‌های ترشیری و بازالت‌های جوان منطقه شمال شرق بیرون، رساله دکتری پترولوزی، دانشکده علوم زمین، دانشگاه شهید بهشتی، ۲۶۵.
 - Aldanmaz, E., Pearce, J. A., Thirlwall, M. F. and Mitchell, J. G. 2000. Petrogenetic evolution of late Cenozoic, post - collision volcanism in western Anatolia (Turkey). *Journal of Volcanology and geothermal research* 102: 67 - 95.
 - Altunkaynak, S., Can Genc, S. 2008. Petrogenesis and time - progressive evolution of the Cenozoic continental volcanism in the Biga Peninsula, NW Anatolia (Turkey). *Lithos* 102: 316 - 340.
 - Benito, R., Lopez Ruiz, J., Cebria, J.M., Hertogen, J., Doblas, M., Oyarzun, R., Demaiff, D. 1999. Sr and O isotope constraints on source and crustal contamination in the high-K calc-alkaline and shoshonitic Neogene volcanic rocks of SE Spain. *Lithos* 46: 773-802.
 - Bianchini, G., Beccaluva, L., and Siena, F. 2008. Post-collisional and intraplate Cenozoic volcanism in the rifted Apennines (Adriatic domain). *Lithos* 101:125-140
 - Blackwell scientific publication, 193.
 - Dehghani, G. and Makris, J. 1983. The gravity field and crustal structure of Iran, Institute of Geophysics, University of Hamburg.
 - Khorasani, R. 1982. Petrographie und geochemie spaetkretazisch- alttertiaerer laven und
- تفريقی و آلدگی پوسته‌ای مسئول شکل‌گيری اين مجموعة سنگ‌شناسي بوده است، گرچه تفريقي بلوري را باید فرايند اصلی در تكوين سنگ‌های آتشفسانی منطقة مورد تحقيق دانست و يادآور شد که نقش آلايش پوسته‌ای مورد اشاره در ژنز سنگ‌های ريوليلي و متمايل به اسيدي چشمگير بوده است. اين سنگ‌ها با دارا بودن $^{143}\text{Nd}/^{144}\text{Nd}$ بالاتر و $^{87}\text{Sr}/^{86}\text{Sr}$ Lucassen et al. (2007) پايين تر به گونه‌ای شاخص متمايز شوند. نمودار وزني سيليس و $^{87}\text{Sr}/^{86}\text{Sr}$ در برابر سيليس (Aldanmaz et al. 2000) شده می‌باشند. از نمودارهای $^{143}\text{Nd}/^{144}\text{Nd}$ در برابر درصد وزني سيليس و $^{87}\text{Sr}/^{86}\text{Sr}$ در برابر سيليس (Aldanmaz et al. 2000) اين نتایج تكميلي قابل اقتباس است که الف) بين سه طيف سنگ‌های بازالتی، آندزيتی و انواع داسیتی - ريوليلي ناپيوستگی و انقطاع مشاهده می‌شود. ب) از سمت سنگ‌های ريوليلي به طرف تركيبات بازالتی با کاهش درجه ذوب بخشی همراه می‌باشد. اين موضوع بروز شاخصه آلkalان در سنگ‌های بازيك منطقه را توجيه کند. ج) منبع گوسته‌ای مولد سنگ‌های خروجي منطقة مورد مطالعه غني‌شدگي متأثر از يك فرايند فرورانش قديمی را تجربه کرده است.
- Khorasani (1982) نسبت $^{87}\text{Sr}/^{86}\text{Sr}$ آندزيت‌ها و داسیت‌های نزدیک بیرون از قبیل مارکوه را بین ۰/۷۰۵۹ تا ۰/۷۰۴۷ گزارش کرده (که متوسط آن ۰/۷۰۵۳ بوده) و اين نسبت را ناشی از آلايش گستردگی پوسته‌ای ماقمای والد آن‌ها دانسته است. نسبت $^{87}\text{Sr}/^{86}\text{Sr}$ داسیت‌ها و ريوليلت‌های شمال شرق بیرون از ۰/۷۰۵۳۹ تا ۰/۷۰۵۱۲۷ در تغيير بوده و ميانگين اين نسبت برای آندزيت‌ها ۰/۷۰۴۸۴۱ می‌باشد، عددی که با خامت محاسبه شده برای پوسته در گستره شرق ايران (۴۵ تا ۴۸ کيلومتر، Dehghani and Makris, 1983) همخوانی دارد.
- ## سپاسگزاری
- لازم است از زحمات و همکاری بیشائبه پروفسور دکتر ثريا هويس آسيشلر استاد دپارتمان مينرالوژي، پetroلوزی و

subvulcanite der noerdlichen lut (Ost Iran). Dissertation universitaet Hamburg (in German).

- Le Maitre, R. W. et al. 1989. A classification of igneous rocks and glossary of terms.

- Lucassen, F., Franz, G., Romer, R.L., Schultz, F., Dulski, P. and Wemmer, K. 2007. Pre - Cenozoic intra - plate magmatism along the central Andes (17-34 S): Composition of the mantle at an active margin. *Lithos* 99: 312 – 338.

- Rollinson, 1997. Using geological data, evolution, presentation and interpretation. John wiley and sons, 346.

- Wilson, M. 1989. Igneous petrogenesis. Unwin hyman Publication (London), 446.

- Zindler, A., Hart, S. 1986. Chemical geo-dynamics. Annual review of earth and planetary sciences 14: 493 – 571.